

Влияние фазы несущей лазерного импульса (carrier envelope phase) на генерацию аттосекундных импульсов от поверхности плазмы

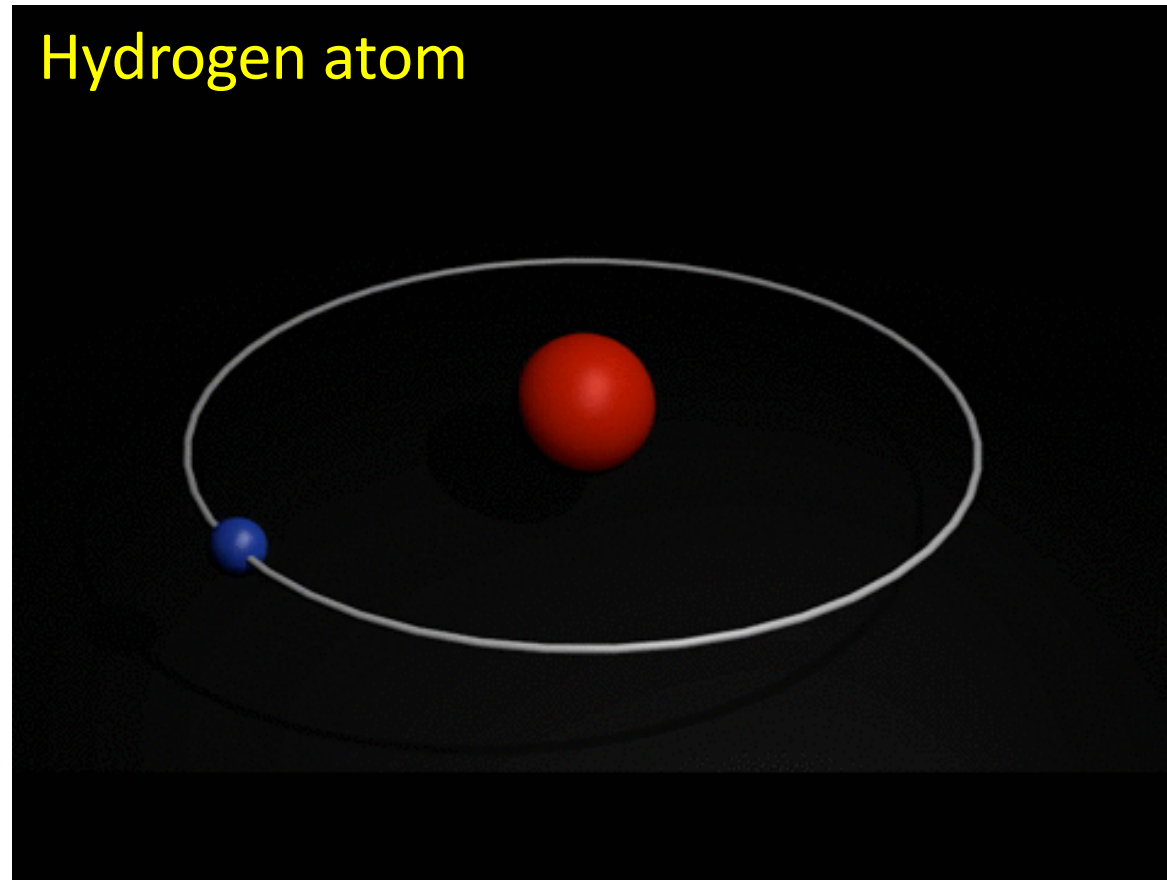
Сергей Рыкованов

Сколковский Институт Науки и Технологий

Our natural curiosity requires faster and shorter scales

Can we see the motion of electrons?

Hydrogen atom



Bohr radius ~ 1.5 Angstrom

Bohr orbit period ~ 150 attoseconds

$$1 \text{ as} = 10^{-18} \text{ s}$$

$$1 \text{ as} / 1 \text{ s} \sim 1 \text{ s} / \text{age of Universe}$$

"One of the primary goals of attosecond science is to provide more insights into the dynamics of atomic electrons."

P. Agostini, L.F. DiMauro, Reports on Progress in Physics, 67, 813 (2004)

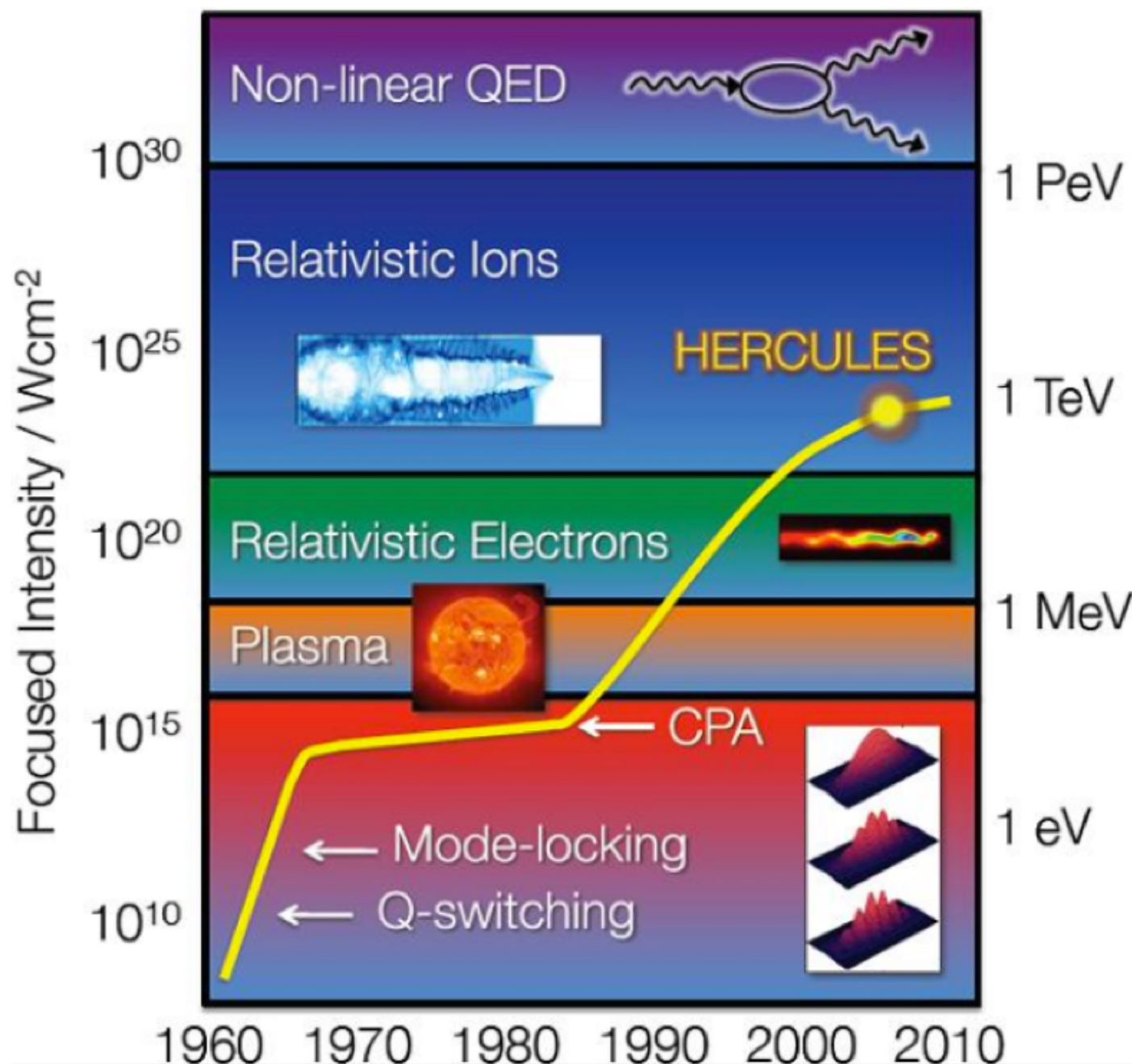
Pump-probe technique

Pump-probe
technique

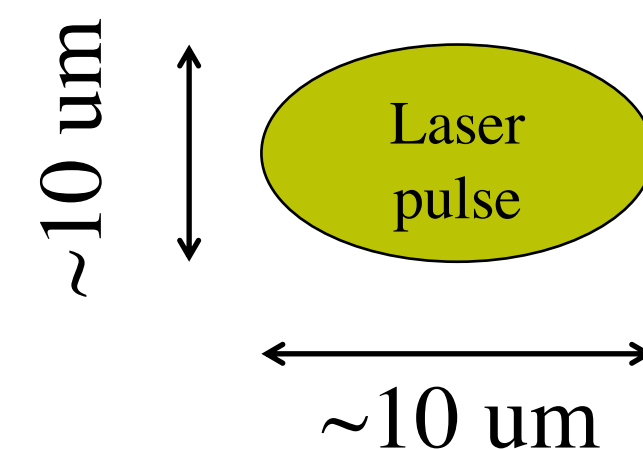
Quest for more intense laser pulses

Intensity = Energy / Unit Surface / Unit time

Sun Intensity on Earth surface $\sim 0.1 \text{ W cm}^{-2}$



- 1985 CPA (Chirped Pulse Amplification)
- Petawatt laser systems (10^{15} Watt)
- World power production $\sim 10^{13}$ Watt
- Ultrashort pulses (femtosecond)
- 1 femtosecond = 10^{-15} seconds



- 10 times smaller than human hair

Picture credit: CUOS, University of Michigan

Harmonics and attosecond physics

Heisenberg uncertainty:

$$\Delta\omega\Delta\tau = 2\pi$$

If we want short pulses – we need a broad spectrum

Physics Letters A 168 (1992) 447–450
North-Holland

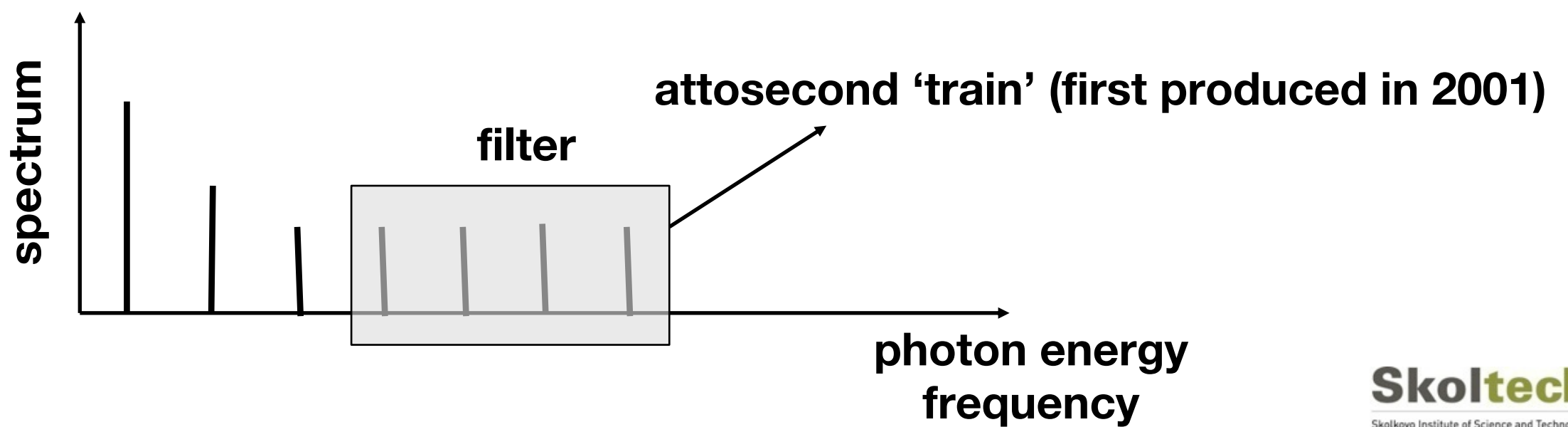
PHYSICS LETTERS A

Proposal for attosecond light pulse generation using laser induced multiple-harmonic conversion processes in rare gases

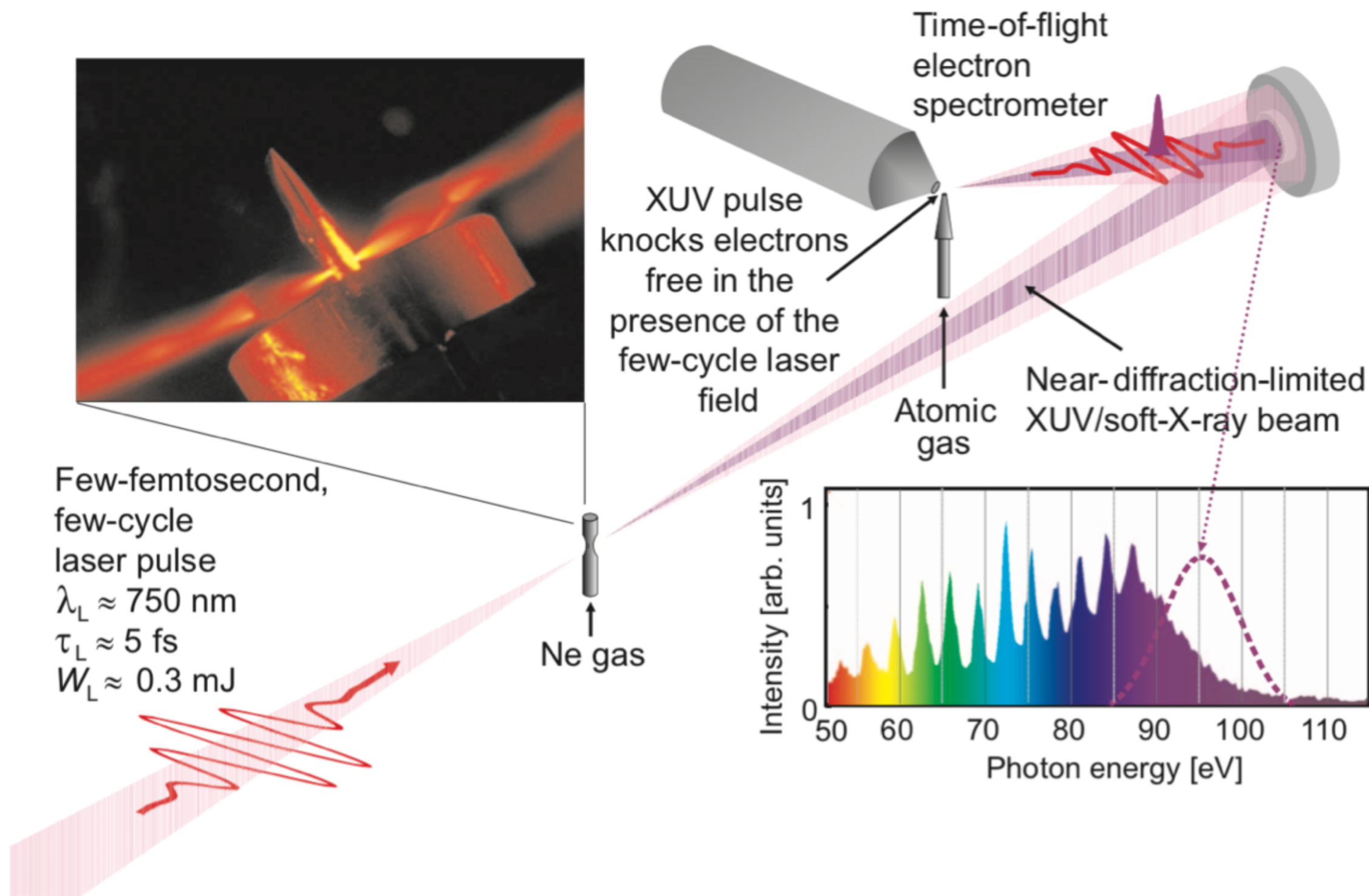
Gy. Farkas and Cs. Tóth

Research Institute for Solid State Physics, Central Research Institute for Physics, P.O. Box 49, H-1525 Budapest, Hungary

Received 11 June 1992; accepted for publication 13 July 1992
Communicated by V.M. Agranovich

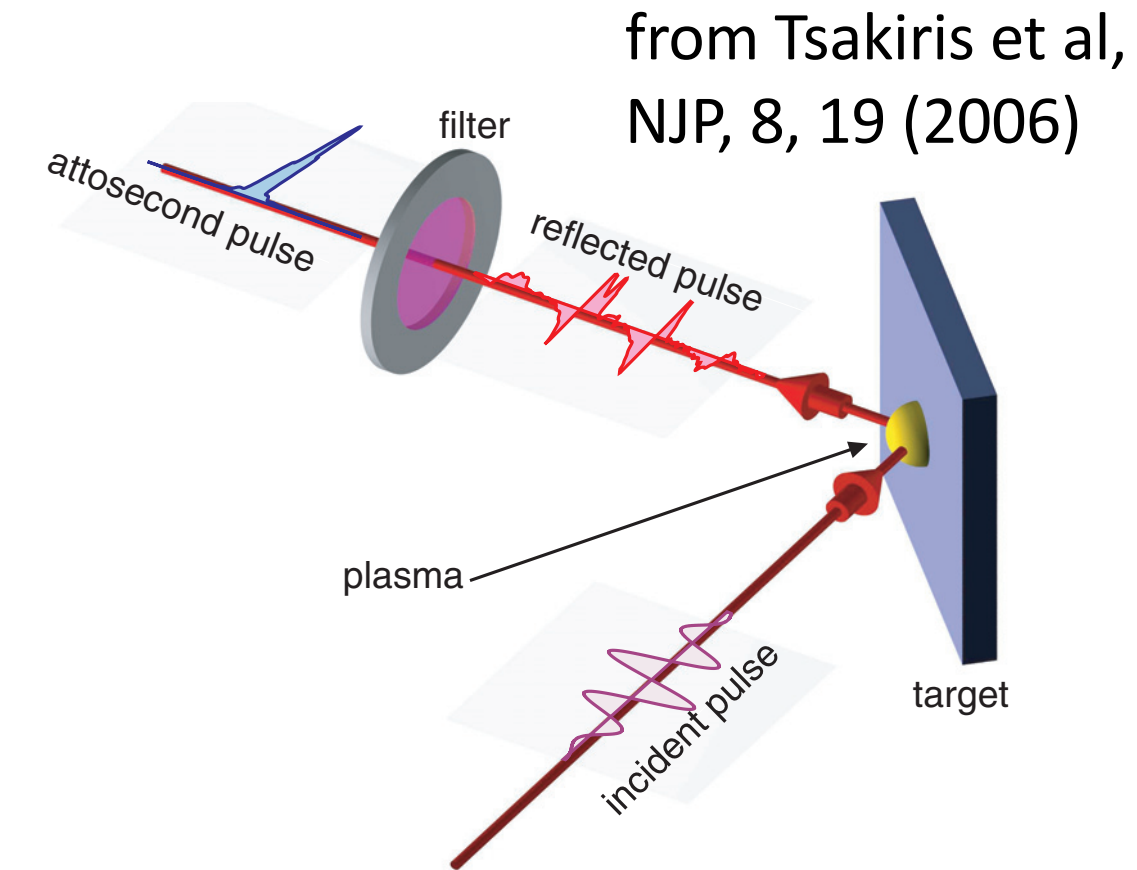
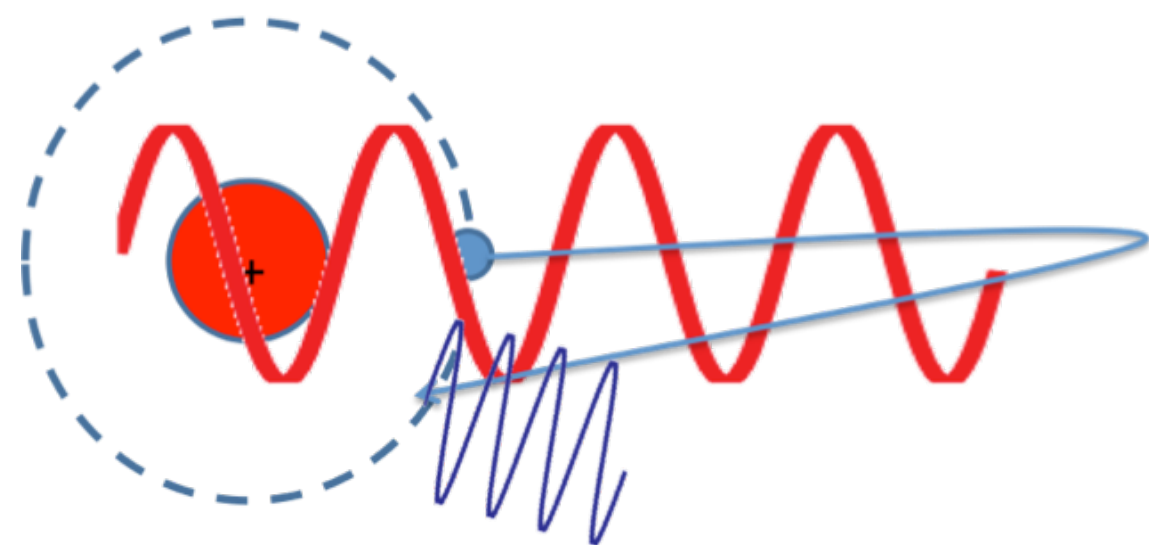


Attosecond beamline



Picture from F. Krausz and M. Ivanov, RMP, 81, 163 (2009)

Plasma medium for high peak number of UV photons



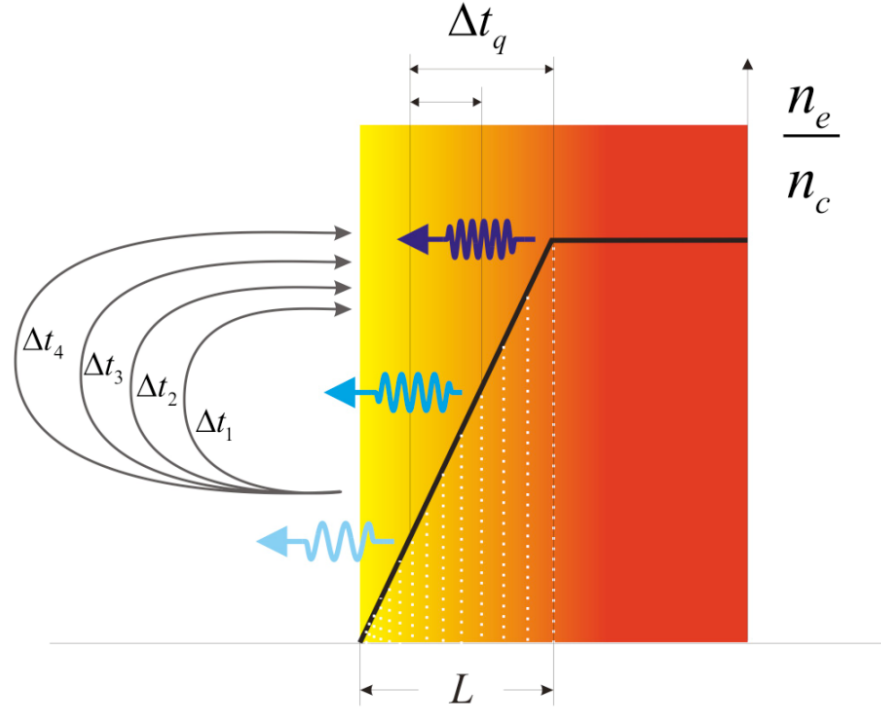
Atomic medium:

- **high average photon number**
- **low peak photon number**
- IR pump – UV probe
- hard to reach water window

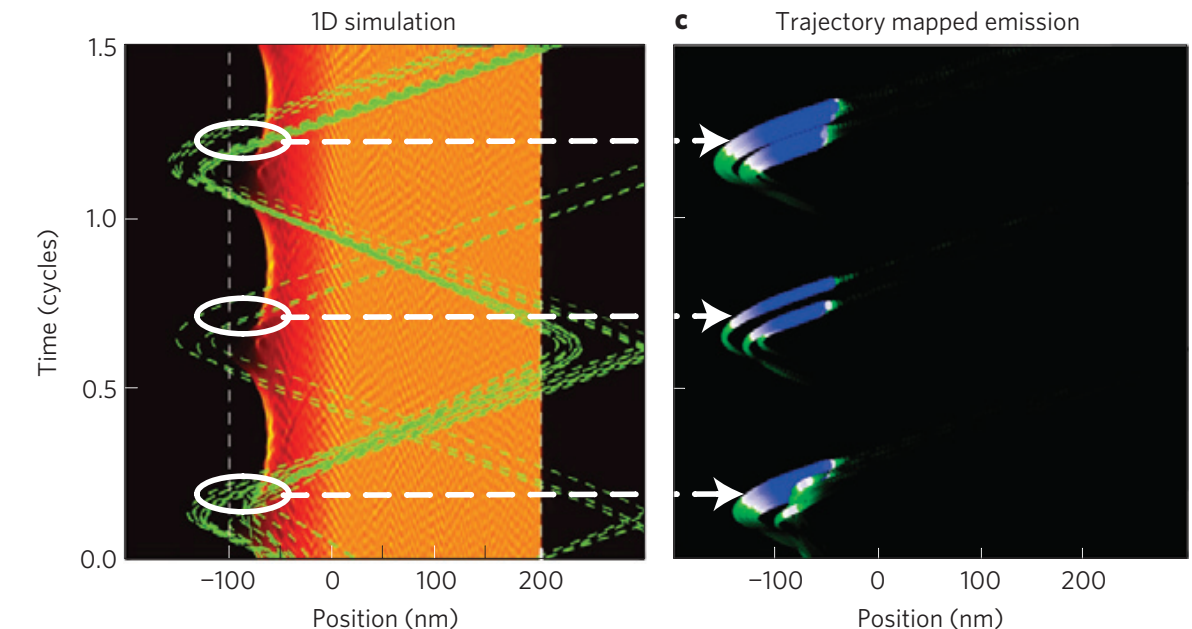
Plasma medium:

- **low average photon number**
- **high peak photon number**
- UV pump – UV probe
- water window within reach

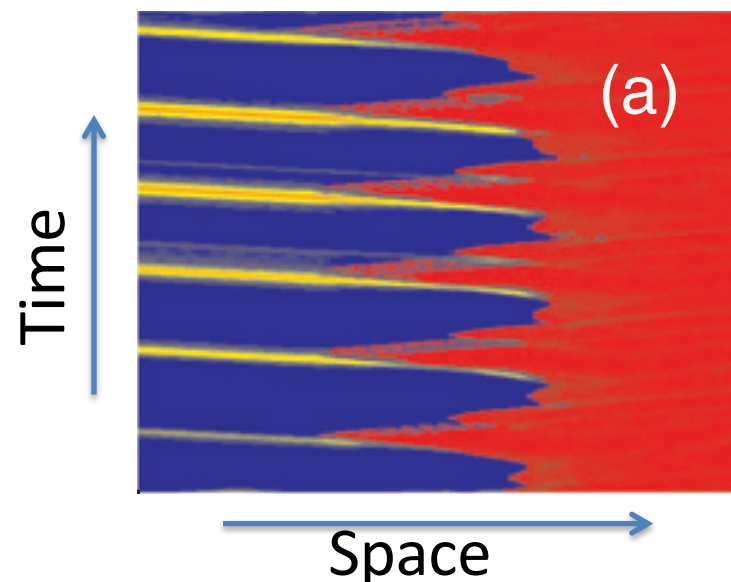
Mechanisms of surface harmonics generation



Coherent Wake Emission¹



Coherent Synchrotron Emission²

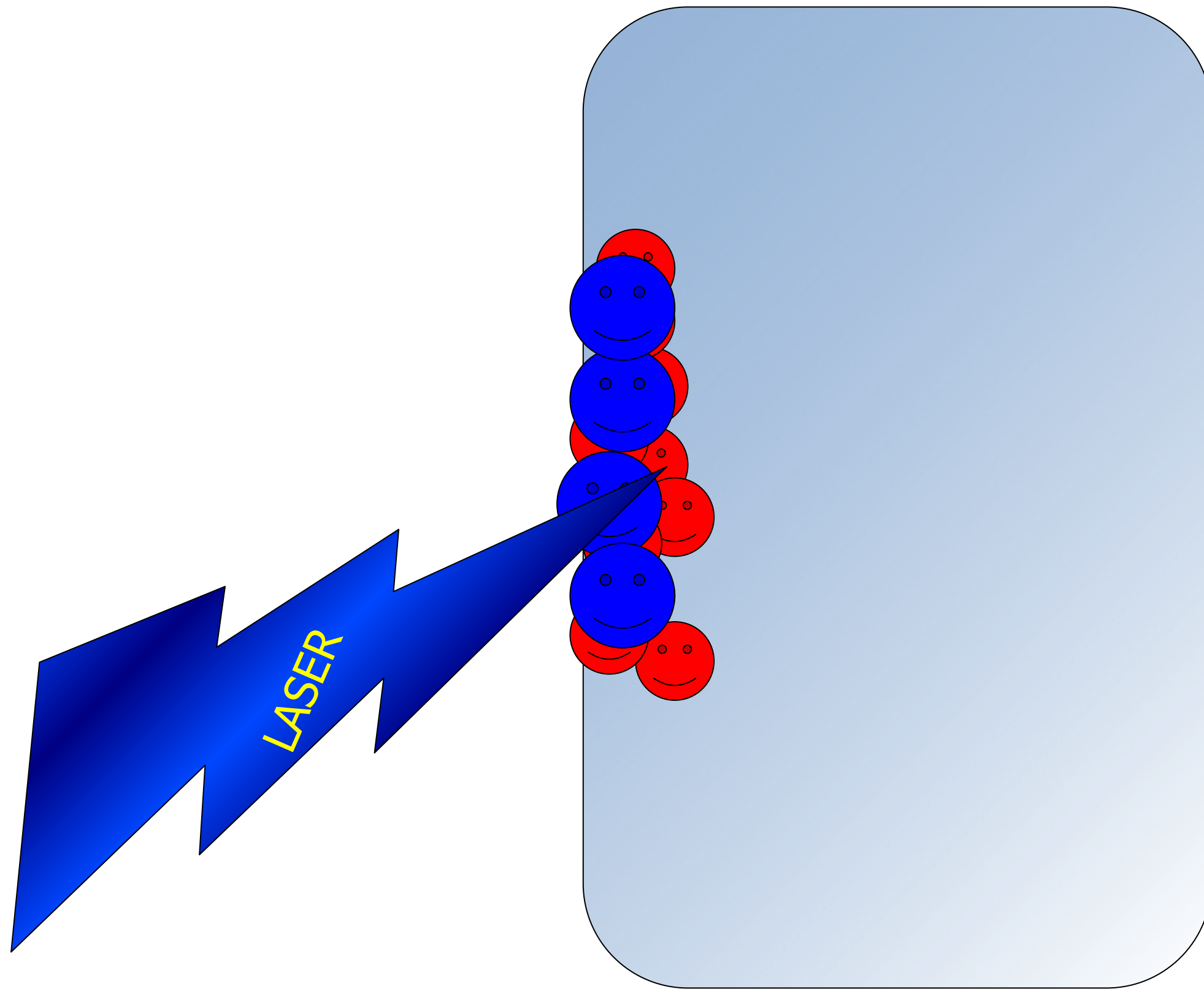


Oscillating Mirror³

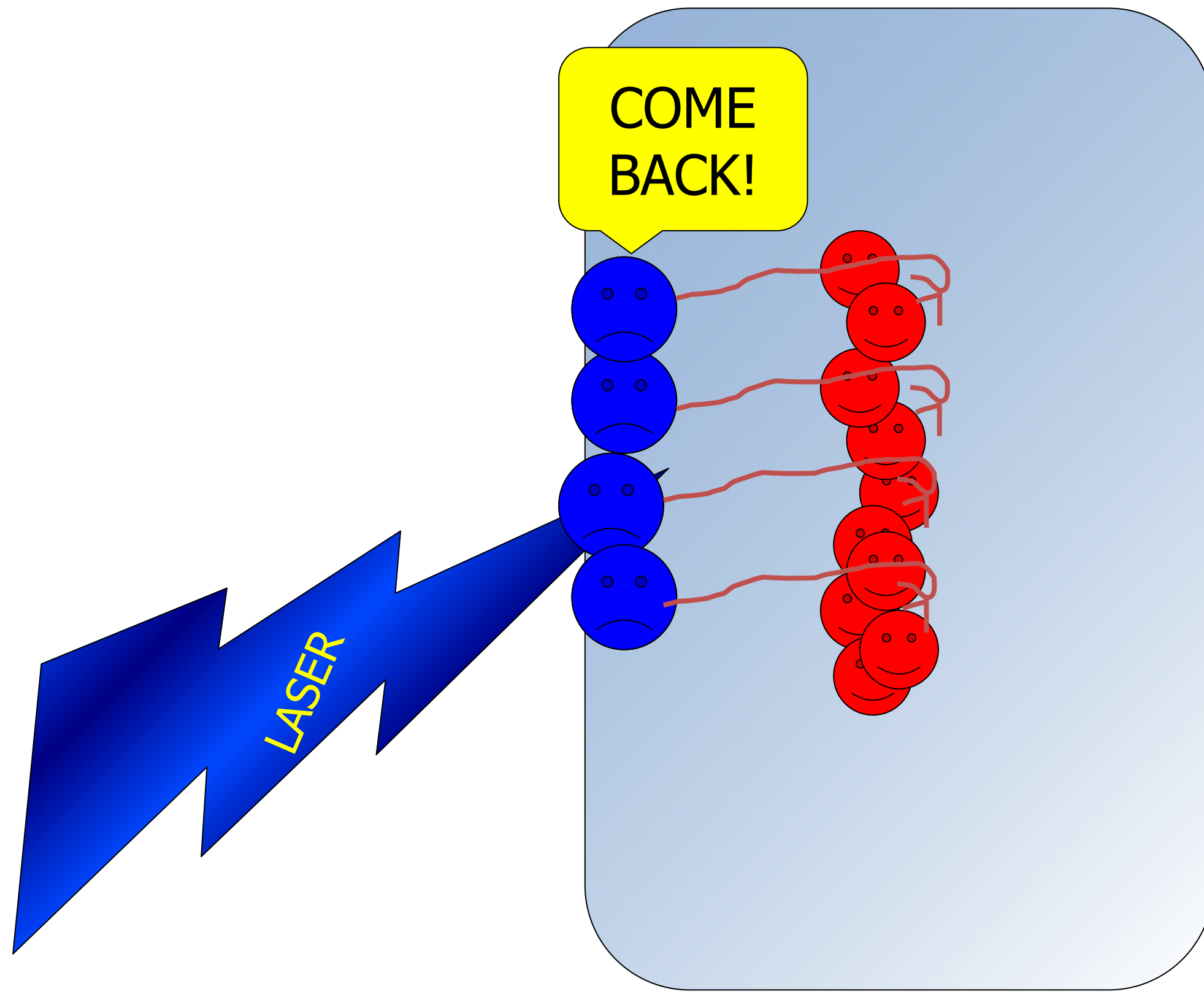
Pictures from:

1. Nomura, et al, Nat. Phys., 5, 124 (2009)
2. Dromey, et al, Nat. Phys., 8, 804 (2012)
3. Rykovanov, et al, NJP, 10, 025025 (2008)

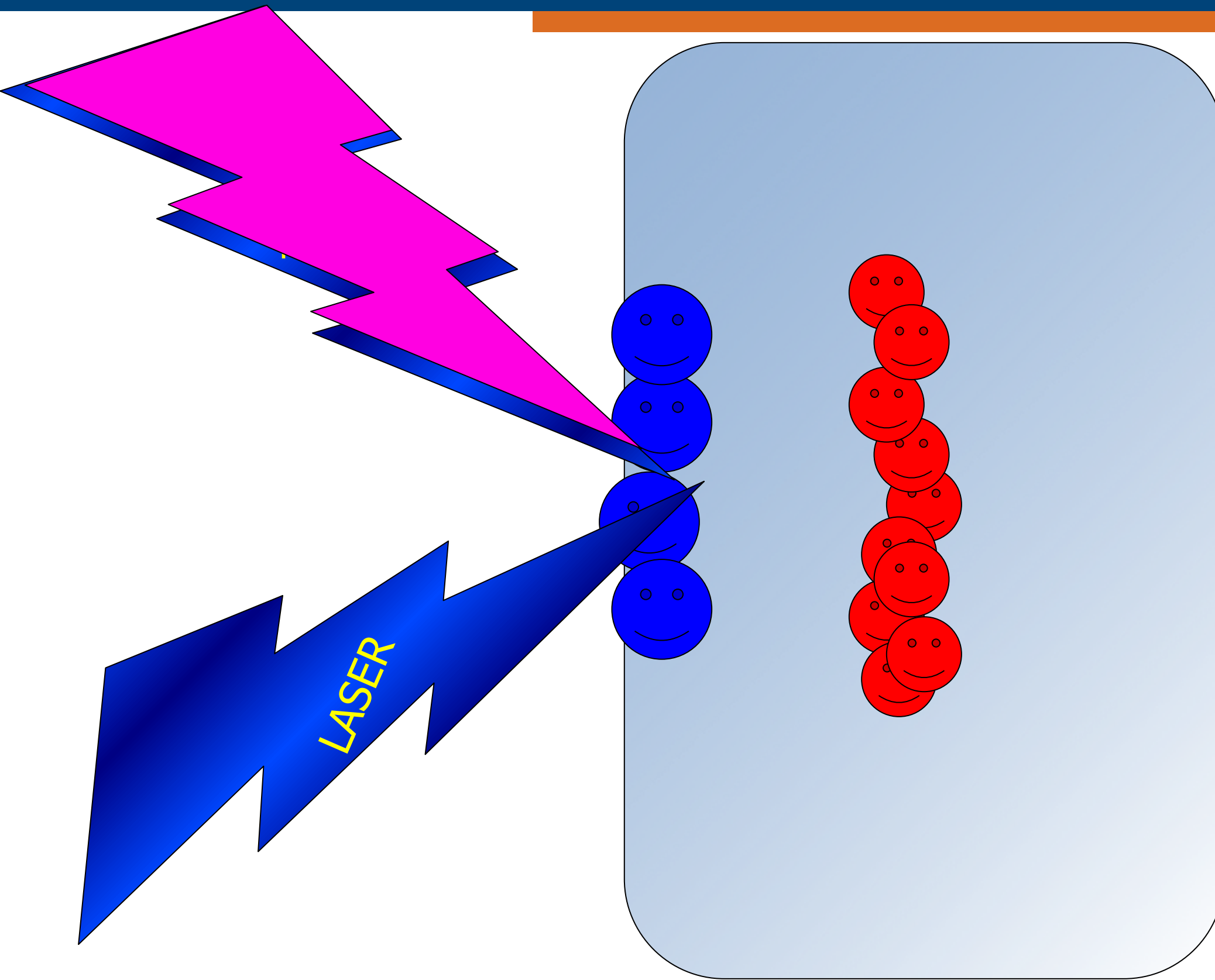
Oscillating mirror model



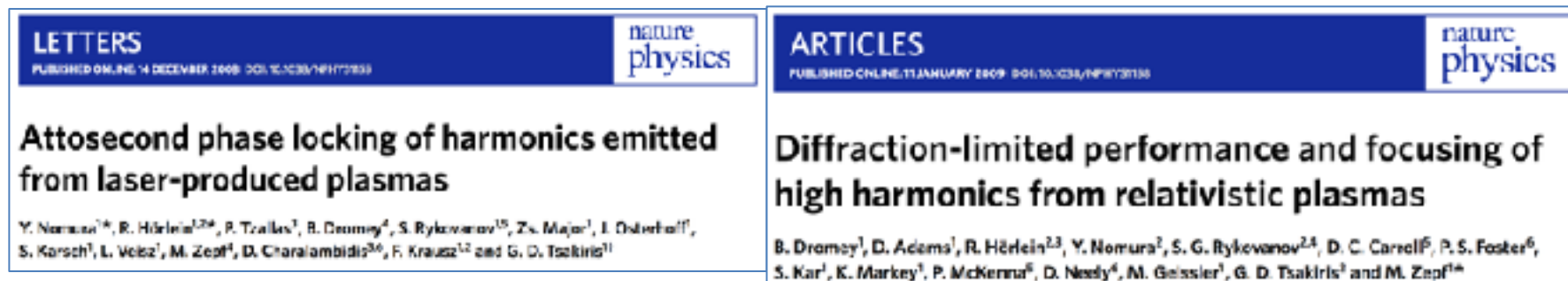
Oscillating mirror model



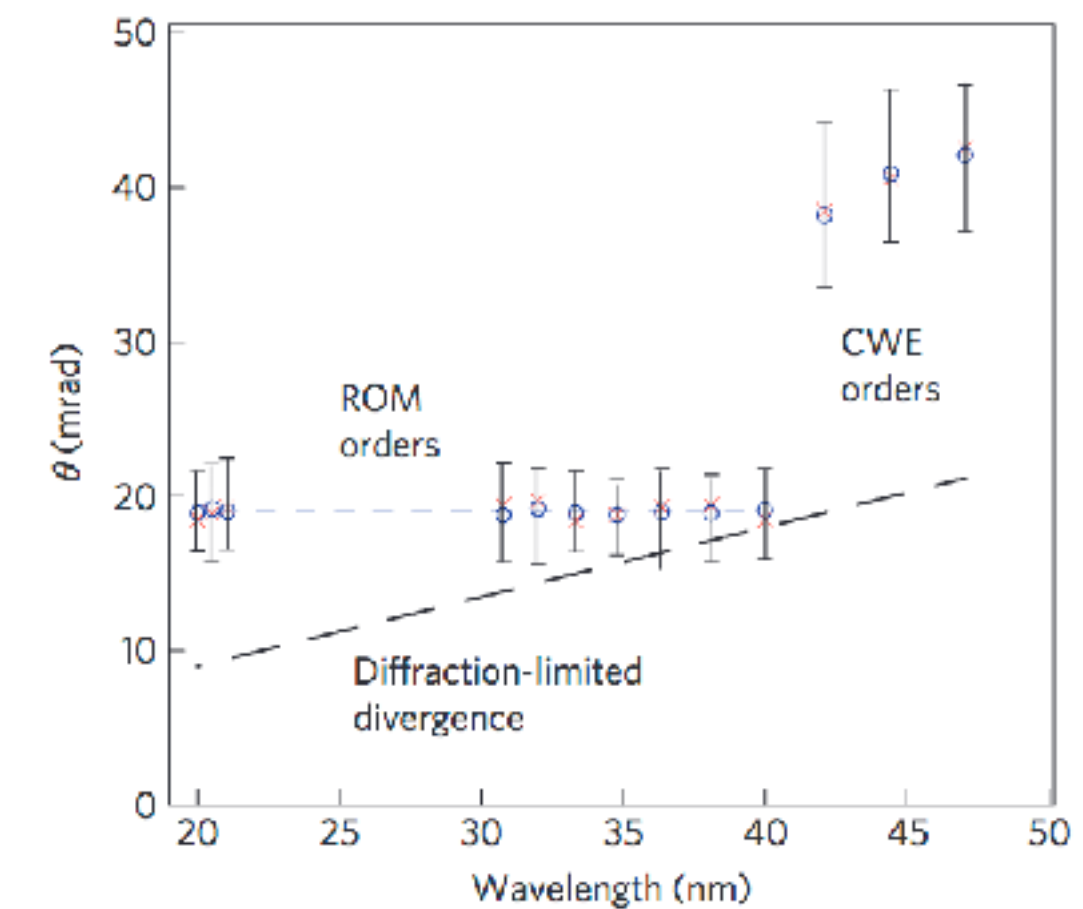
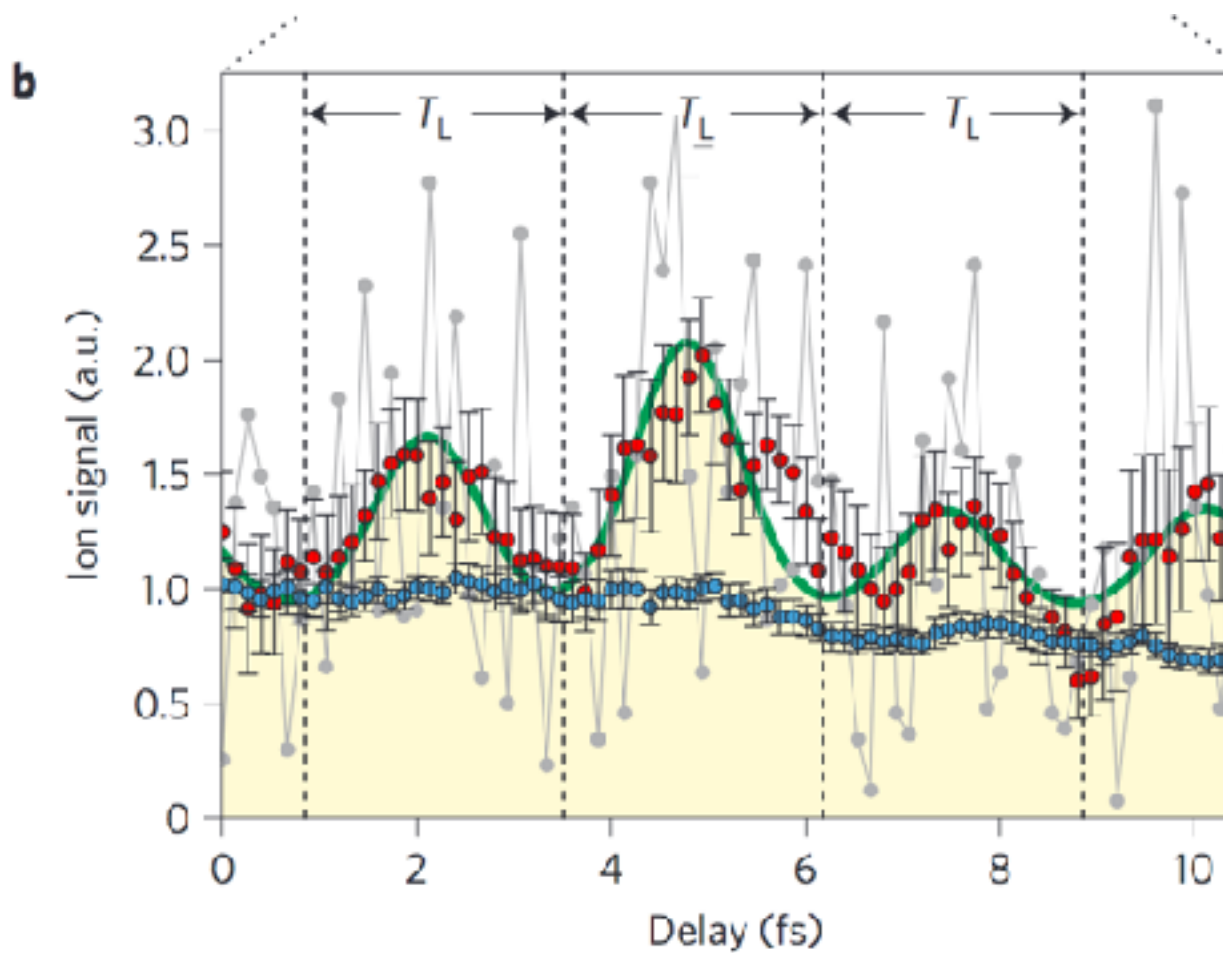
Oscillating mirror model



Spatial and temporal coherence

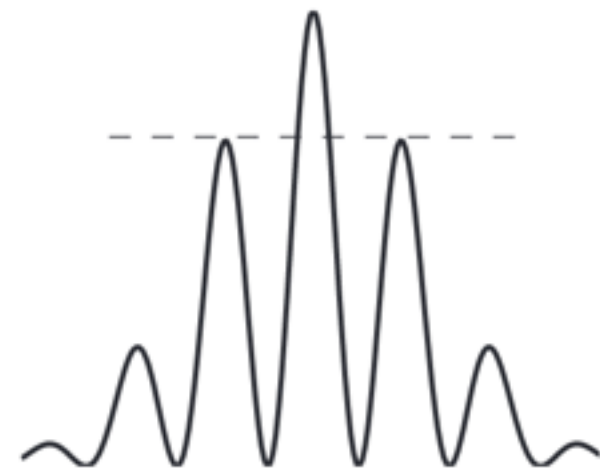


temporal structure



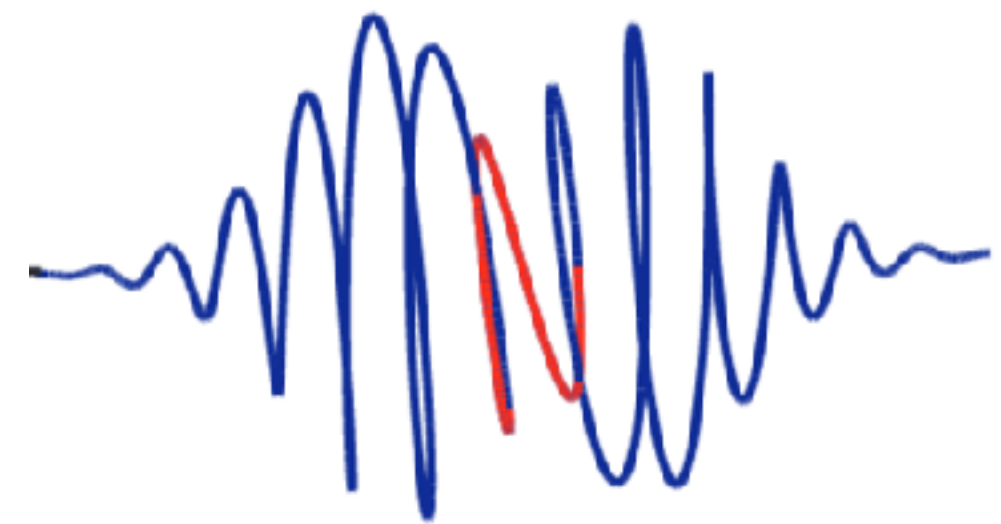
Gating of single attosecond pulses

Intensity gating



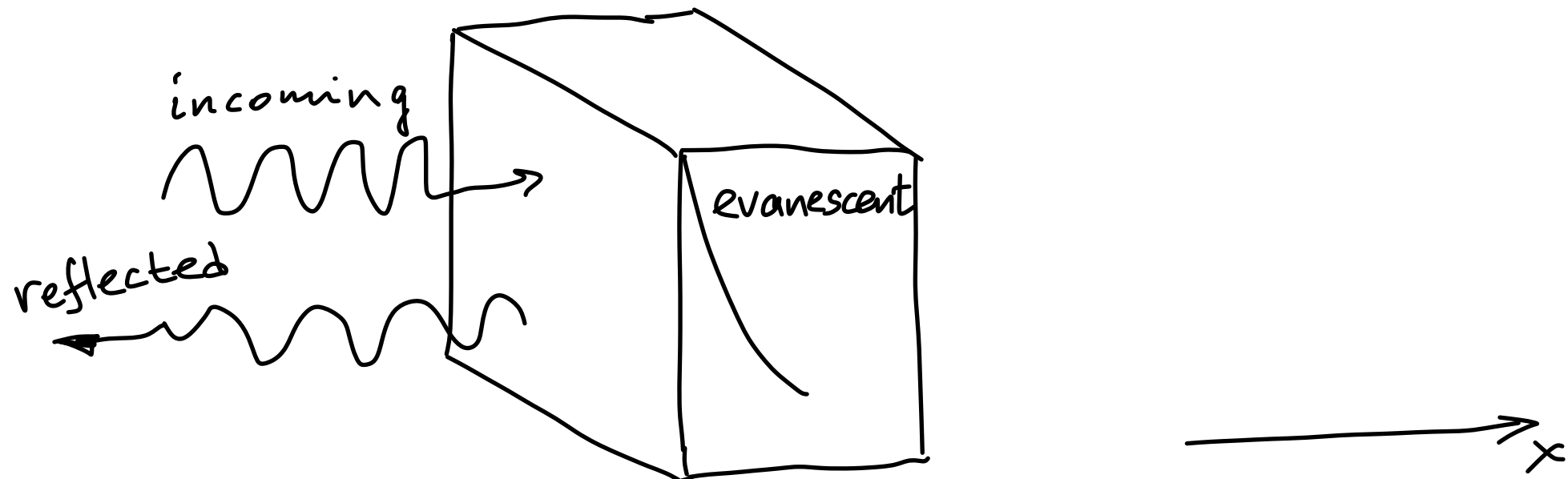
(a)

Polarization gating



+ other techniques (i.e. attosecond lighthouse)

Влияние фазы несущей (carrier envelope phase) на генерацию аттосекундных импульсов



$$d \gg \lambda_L$$
$$d \gg l_{\text{skin}}$$

Всё выше:

$$\frac{d\vec{u}}{dt} = -\vec{E} - \frac{\vec{u} \times \vec{B}}{\gamma}$$

$$E_x = n_e \cdot \chi_e$$

restoring force of
oscillator

Границные условия

Поперечное электромагнитное поле непрерывно:

На поверхности:

$$\vec{A}_{\text{incoming}} + \vec{A}_{\text{reflected}} = \vec{A}_{\text{evanescent}} \quad \left(+ \text{to me} \frac{\partial}{\partial x} \vec{A} \right)$$

В общем виде

$$A_{\text{incoming},y} = a_0 \cdot g(t-x) \cdot \sin(t-x+\varphi_0)$$

$$A_{\text{reflected},y} = a_r \cdot g(t+x) \cdot \sin(t+x+\varphi_r)$$

$$A_{\text{evanescent},y} = \textcircled{a_t} \cdot g(t) \cdot \sin(t+\textcircled{\varphi_t}) \cdot f(x)$$

$f(x)$ - скрин слой, зависит от параметров плаэмы

$$\text{В простейшем случае: } f(x) = e^{-x/l_s} \quad ; \quad l_s = \frac{1}{\omega_p}$$

Границные условия

Непрерывность электрического поля

$$a_0 \cos(t + \varphi_0) + a_r \cos(t + \varphi_r) = a_t \cos(t + \varphi_t) f(0)$$

Непрерывность магнитного поля

$$a_0 \cos(t + \varphi_0) - a_r \cos(t + \varphi_r) = -a_t \sin(t + \varphi_t) f'(0)$$

$$a_t = \frac{2a_0}{\sqrt{1+\omega_p^2}}$$

$$\varphi_t = \varphi_0 - \arctan\left(\frac{f'(0)}{f(0)}\right)$$

$$\varphi_r = \varphi_0 - 2 \arctan\left(\frac{f'(0)}{f(0)}\right)$$

$f(x)$ из большого ур-я:

$$\square \vec{a} = \vec{j} = -n(x) \vec{v}$$

Все поля известны, можем смотреть на (слаборелятивистскую) динамику

Границные условия

Непрерывность электрического поля

$$a_0 \cos(t + \varphi_0) + a_r \cos(t + \varphi_r) = a_t \cos(t + \varphi_t) f(0)$$

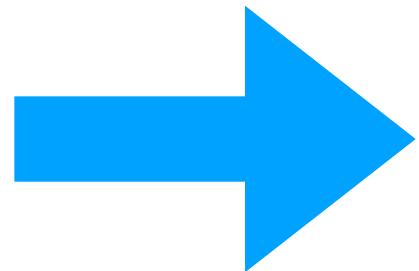
Непрерывность магнитного поля

$$a_0 \cos(t + \varphi_0) - a_r \cos(t + \varphi_r) = -a_t \sin(t + \varphi_t) f'(0)$$

$$a_t = \frac{2a_0}{\sqrt{1+\omega_p^2}}$$

$$\varphi_t = \varphi_0 - \arctan\left(\frac{f'(0)}{f(0)}\right)$$

$$\varphi_r = \varphi_0 - 2 \arctan\left(\frac{f'(0)}{f(0)}\right)$$



Ступенька

$$\varphi_t = \varphi_0 + \arctan\left(\sqrt{\omega_p^2 - \omega_0^2}\right)$$

Линейная преплазма

$$\varphi_t = \varphi_0 + \arctan\left(\frac{\left(\frac{n_0}{L}\right)^{1/3} \text{Ai}'\left(-\omega_0^2 \left(\frac{n_0}{L}\right)^{-2/3}\right)}{\text{Ai}\left(-\omega_0^2 \left(\frac{n_0}{L}\right)^{-2/3}\right)}\right)$$

Все поля известны, можем смотреть на (слаборелятивистскую) динамику

Динамика плазмы - осциллирующее зеркало

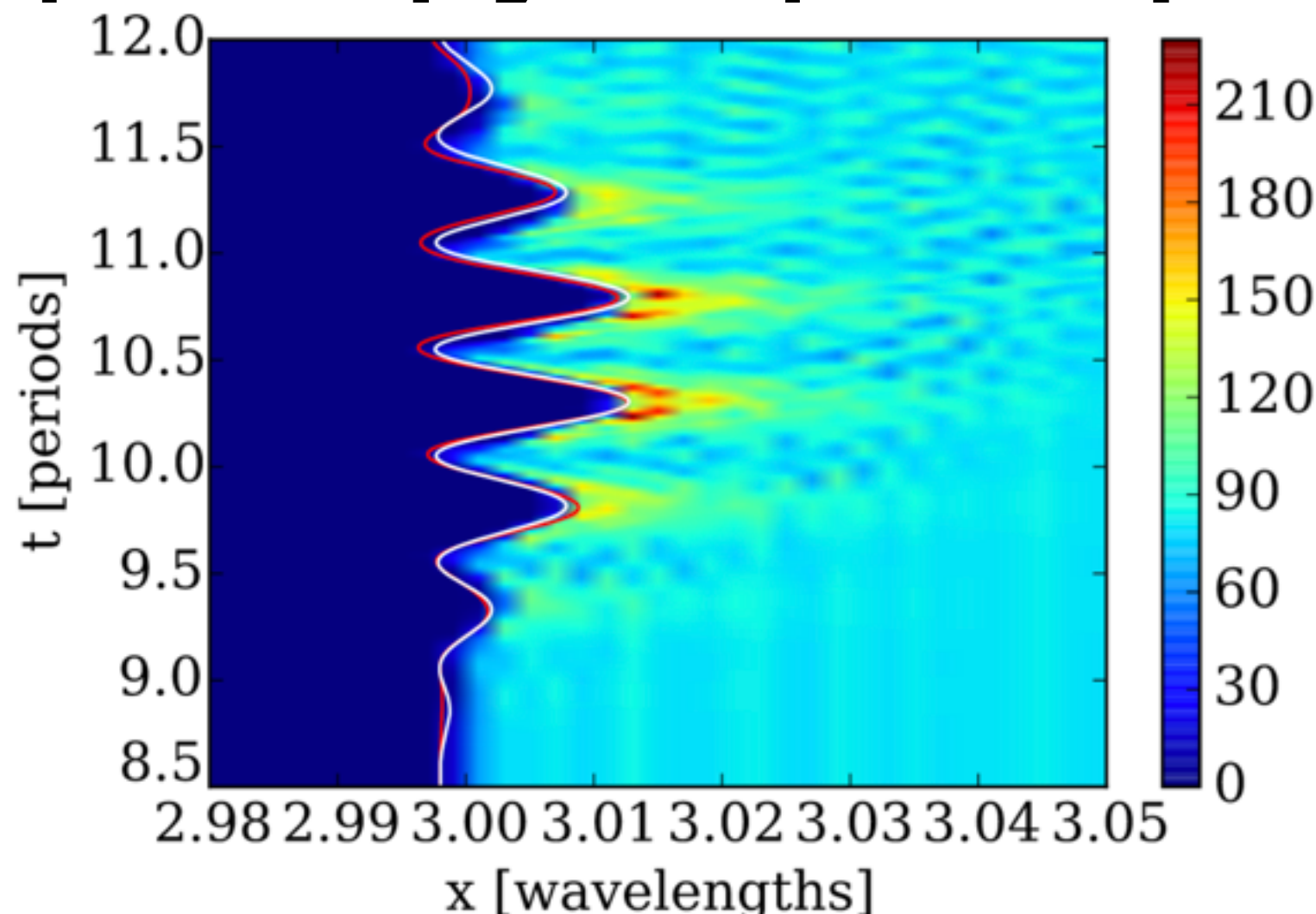


FIG. 1. Spatio-temporal electron density distribution from 1D PIC simulation using the code PICWIG, zoomed on the plasma surface. The surfaces oscillates, as the laser is interacting with the plasma. Analytic solution (solid white line) and numeric solution (solid red line) for a single particle are shown for comparison. The parameters were $n = 81$, $a_0 = 5$ and a laser pulse with a \sin^2 -envelope and duration of 4 optical cycles and linear polarization has been used.

Влияние фазы несущей и параметров плазмы

Ступенька

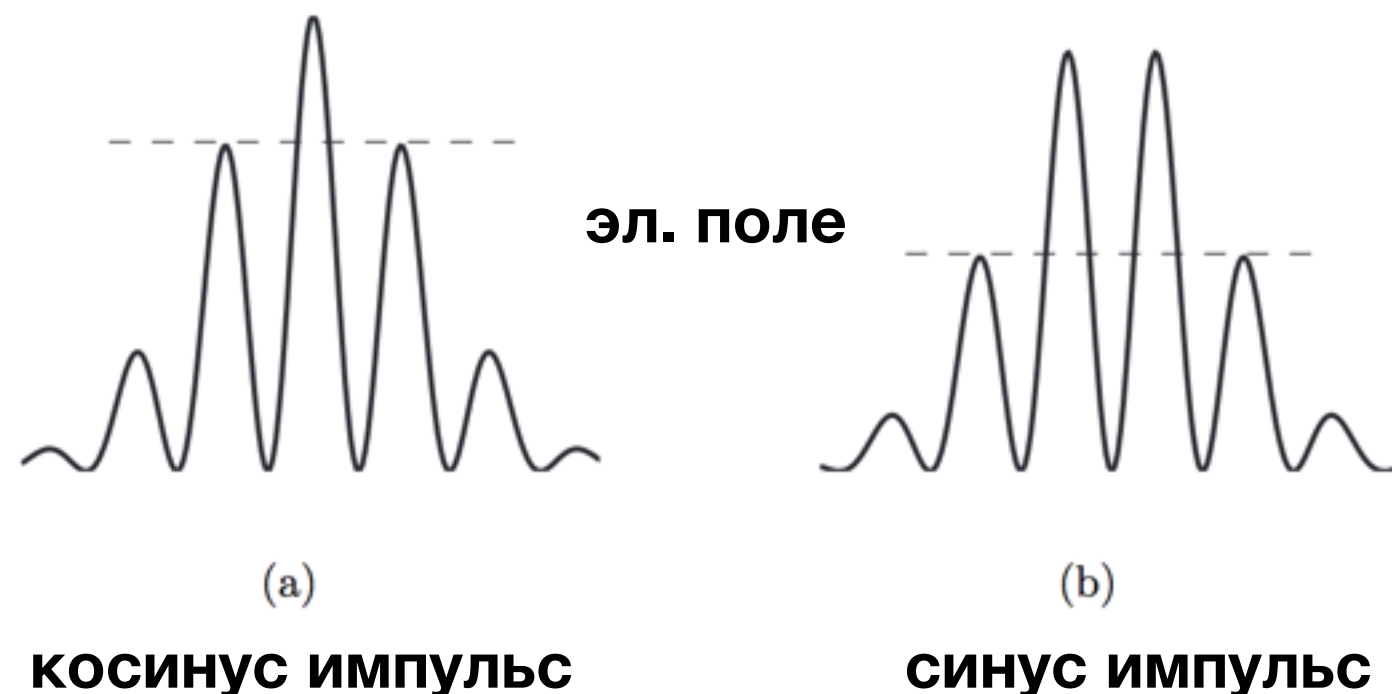
$$\varphi_t = \varphi_0 + \arctan \left(\sqrt{\omega_p^2 - \omega_0^2} \right)$$

Линейная преплазма

$$\varphi_t = \varphi_0 + \arctan \left(\frac{\left(\frac{n_0}{L} \right)^{1/3} \text{Ai}' \left(-\omega_0^2 \left(\frac{n_0}{L} \right)^{-2/3} \right)}{\text{Ai} \left(-\omega_0^2 \left(\frac{n_0}{L} \right)^{-2/3} \right)} \right)$$

Фаза вынуждающего поля, зависящая от параметров плазмы

Intensity gating for single attosecond pulses



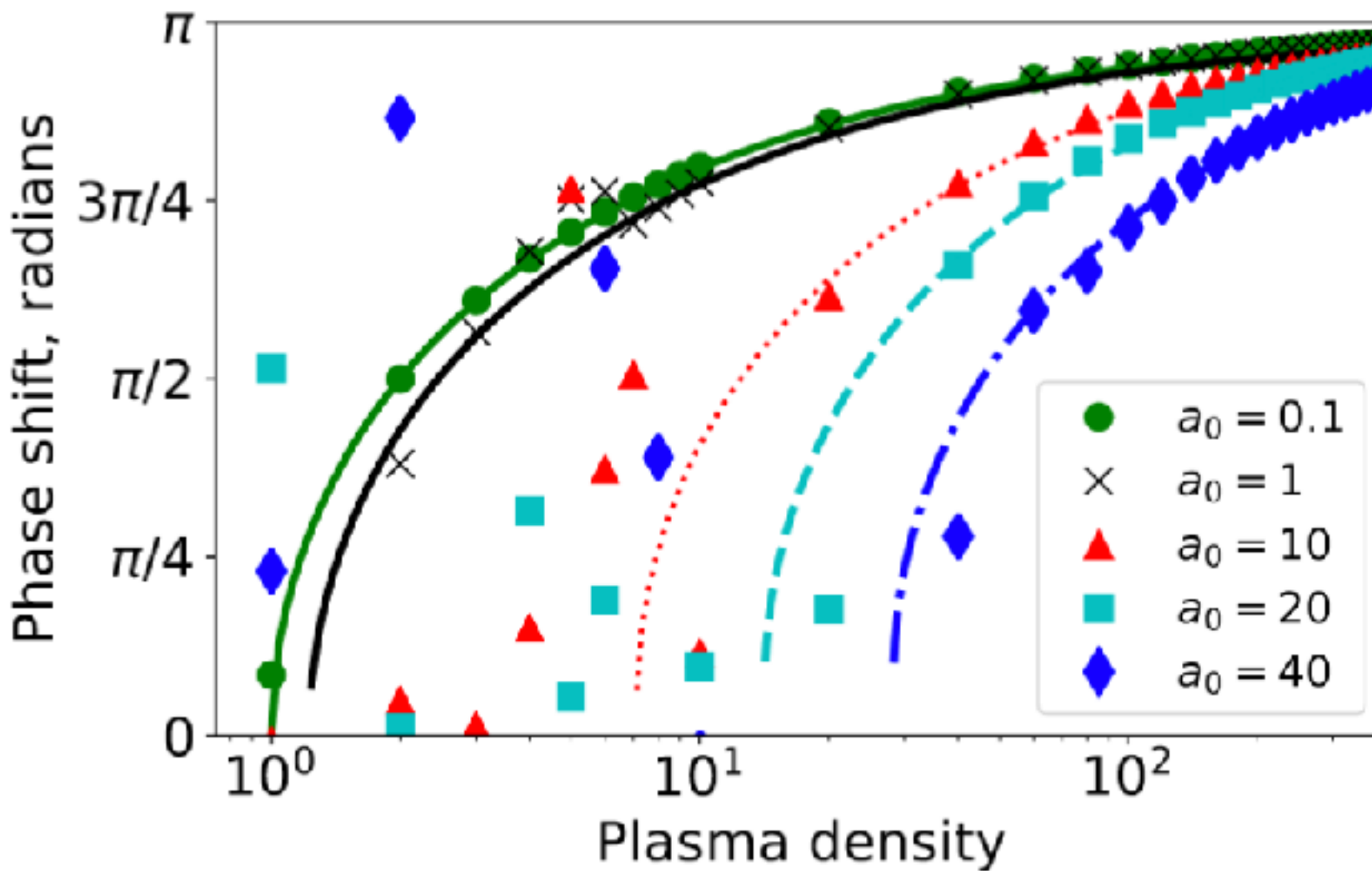
Влияние фазы несущей и параметров плазмы

Ступенька

$$\varphi_t = \varphi_0 + \arctan \left(\sqrt{\omega_p^2 - \omega_0^2} \right)$$

$$n_{0,\text{rel}} = \frac{n_0}{\sqrt{1 + \frac{a_0^2}{2}}}$$

Зависимость фазы отраженного света от плотности плазмы



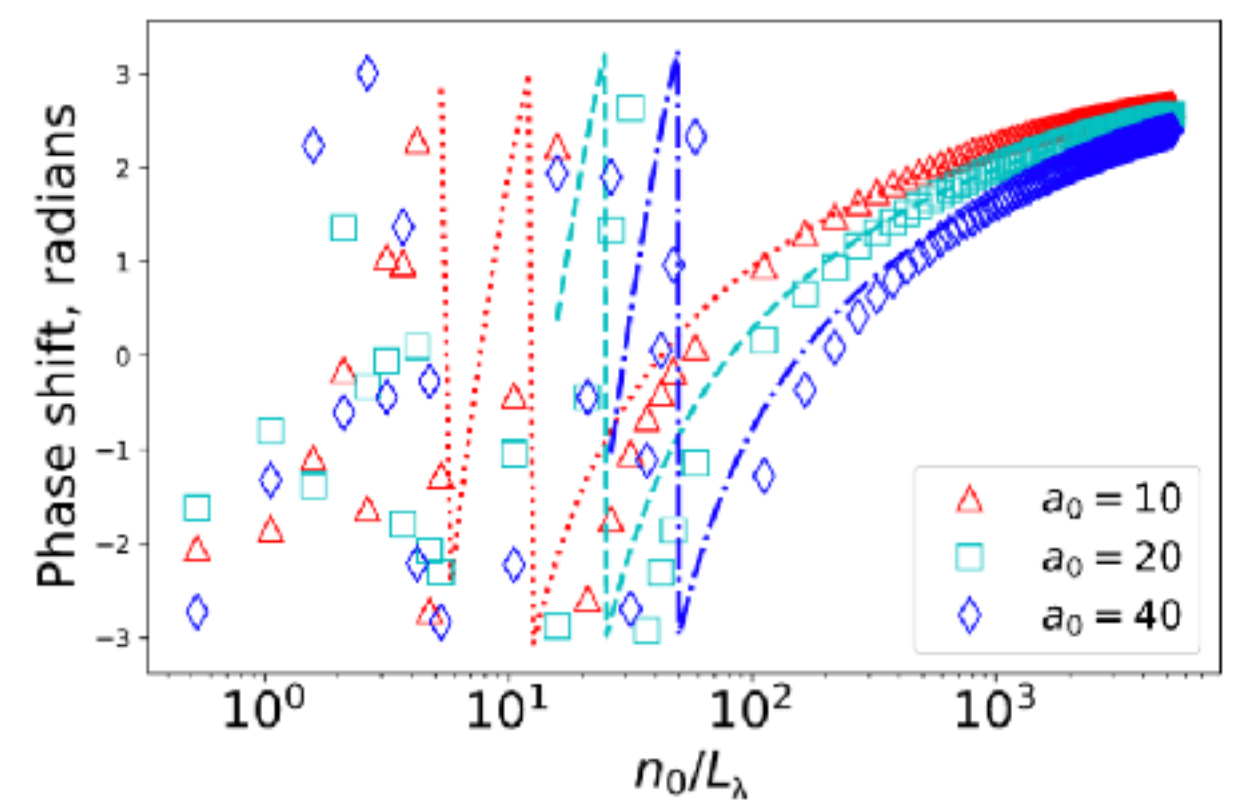
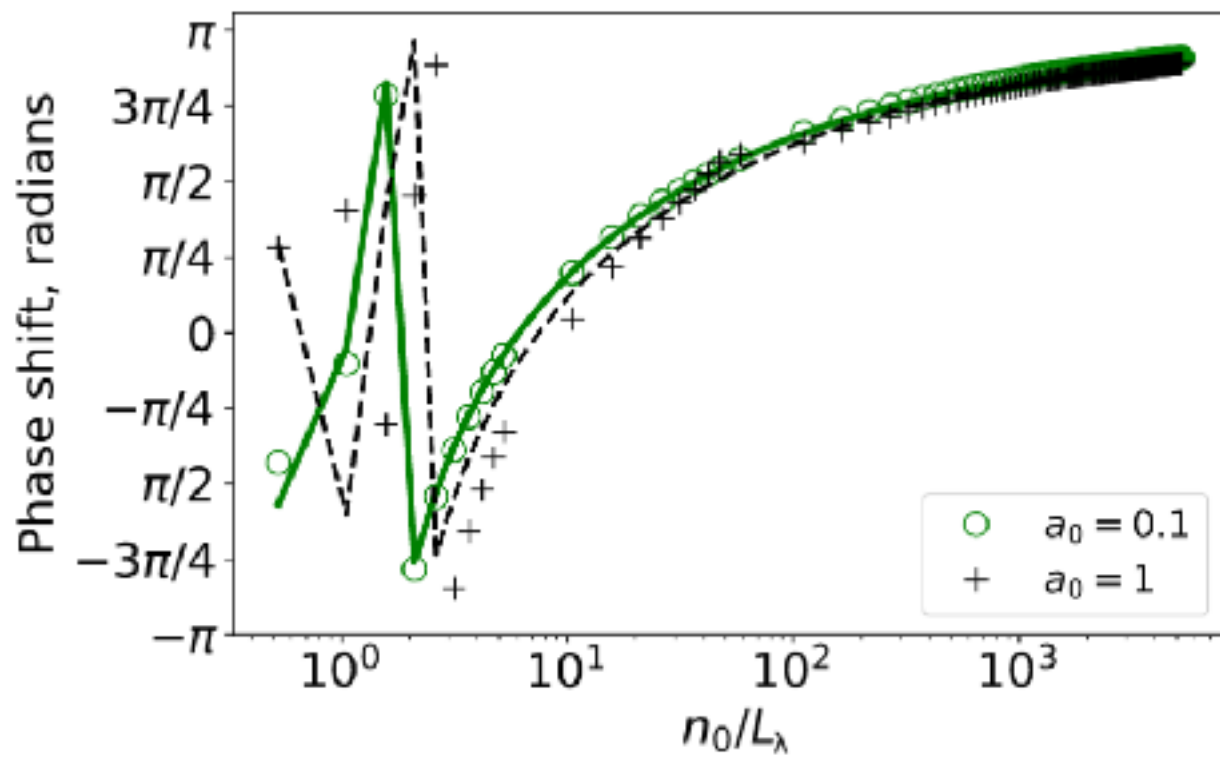
Влияние фазы несущей и параметров плазмы

Линейная преплазма

$$\varphi_t = \varphi_0 + \arctan \left(\frac{\left(\frac{n_0}{L} \right)^{1/3} \text{Ai}' \left(-\omega_0^2 \left(\frac{n_0}{L} \right)^{-2/3} \right)}{\text{Ai} \left(-\omega_0^2 \left(\frac{n_0}{L} \right)^{-2/3} \right)} \right)$$

$$n_{0,\text{rel}} = \frac{n_0}{\sqrt{1 + \frac{a_0^2}{2}}}$$

Зависимость фазы отраженного света от плотности плазмы



Влияние фазы несущей и параметров плазмы

Необходимо заботиться не только о СЕР (carrier envelope phase) лазера, но и подбирать фазу правильно в соответствие с параметрами плазмы. Примеры для ступеньки;

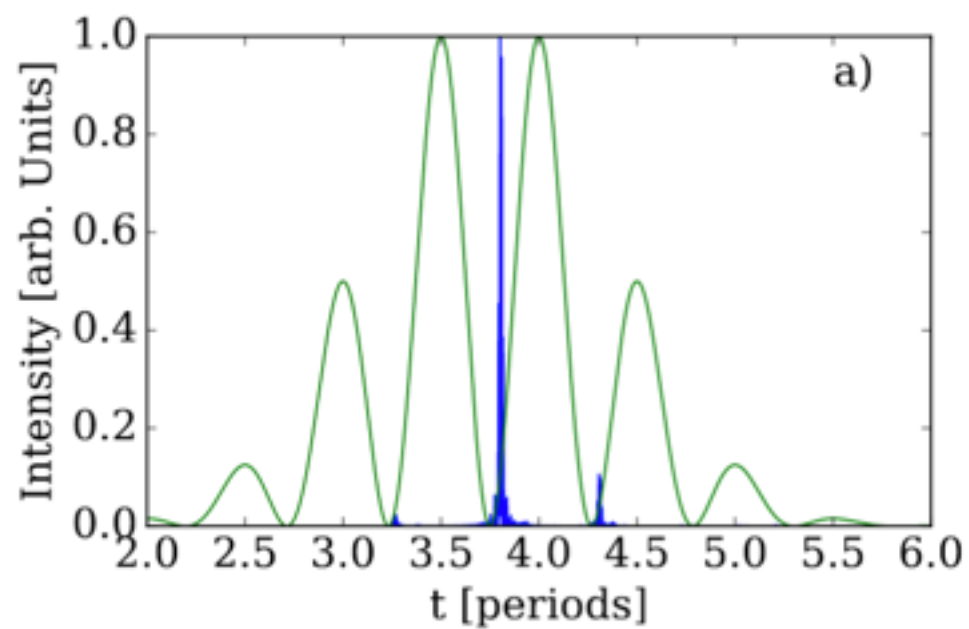
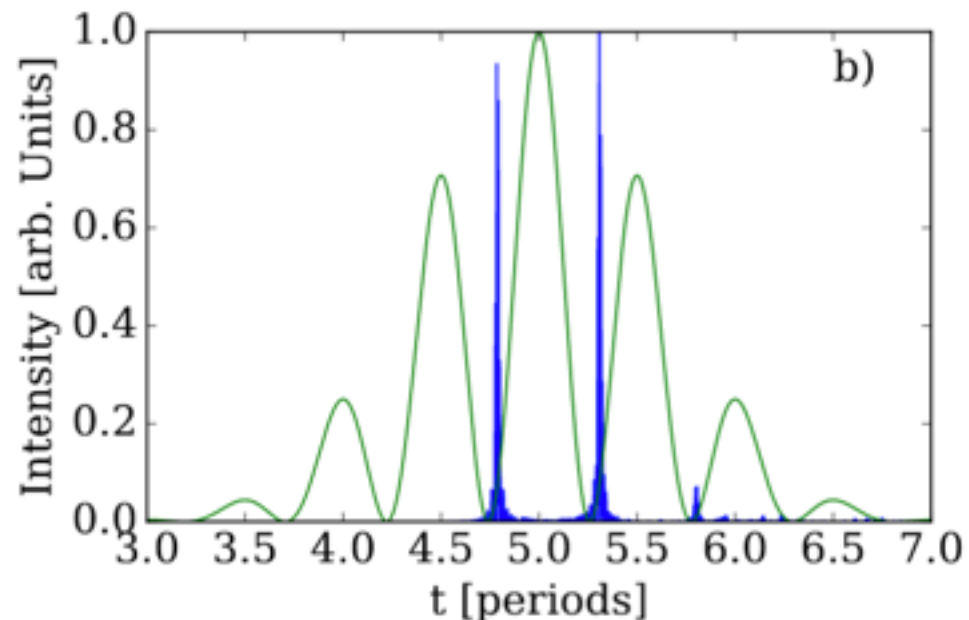


FIG. 8. Attosecond XUV pulses generated by a 3-cycle incident pulse with $a_0 = 20$ normally incident on a step-like target with $n_e = 80n_c$. The incident (green) and reflected



В отражении

Влияние фазы несущей и параметров плазмы

Необходимо заботиться не только о СЕР (carrier envelope phase) лазера, но и подбирать фазу правильно в соответствие с параметрами плазмы. Примеры для ступеньки

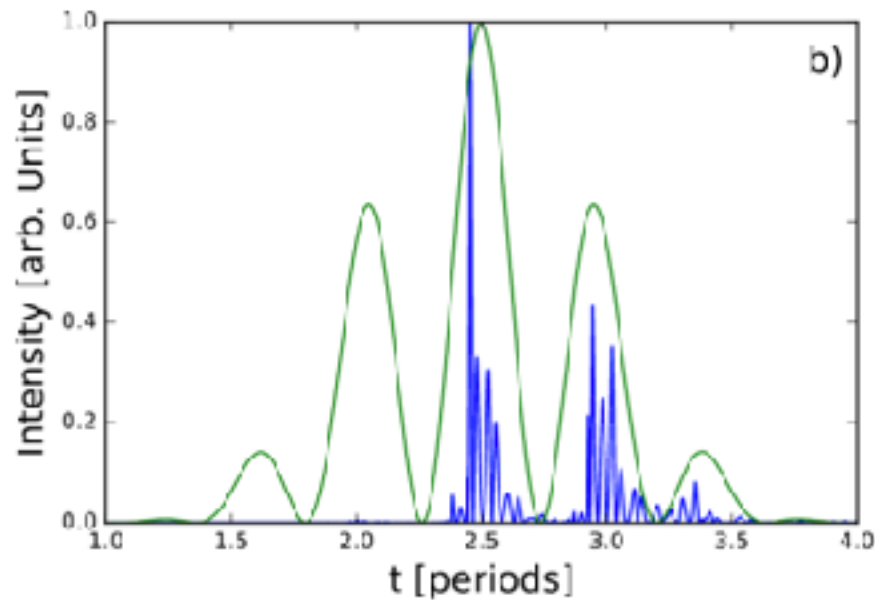
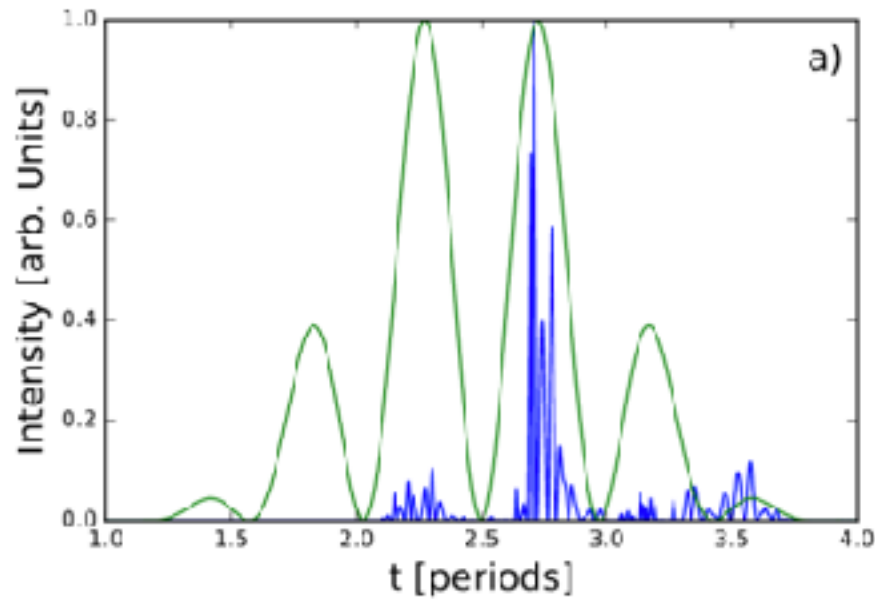
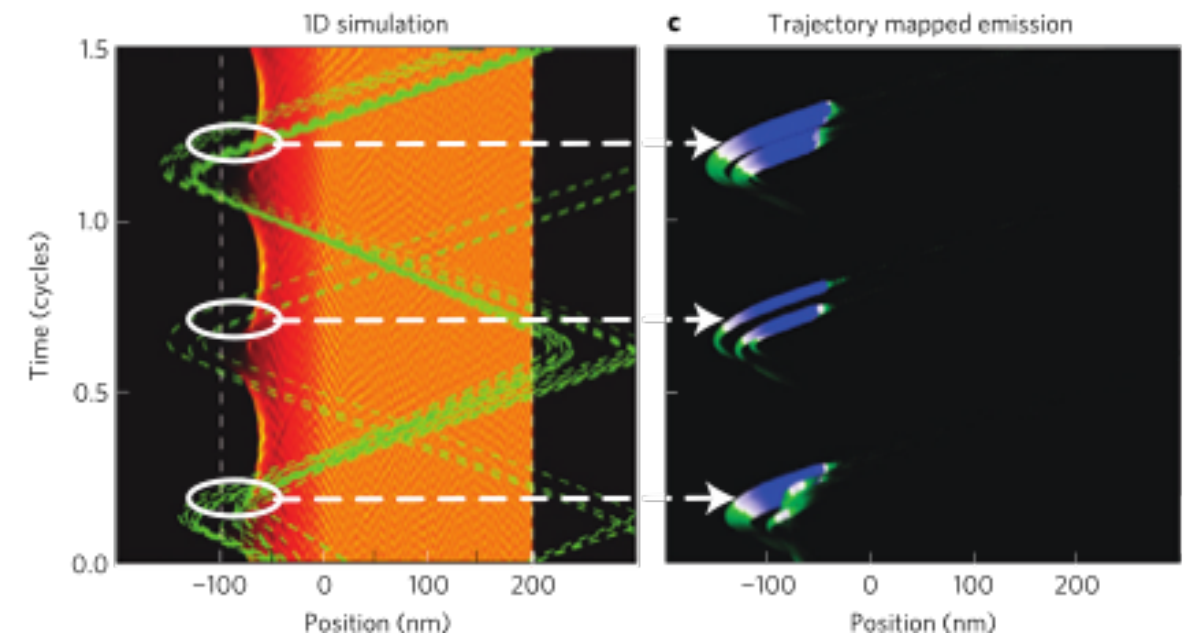


FIG. 8. Attosecond XUV pulses generated by a 3-cycle incident pulse with $a_0 = 20$ normally incident on a step-like target with $n_e = 80n_c$. The incident (green) and reflected

**В прошедшем свете
(без фильтрации –
плазма сама отфильтровывает)**



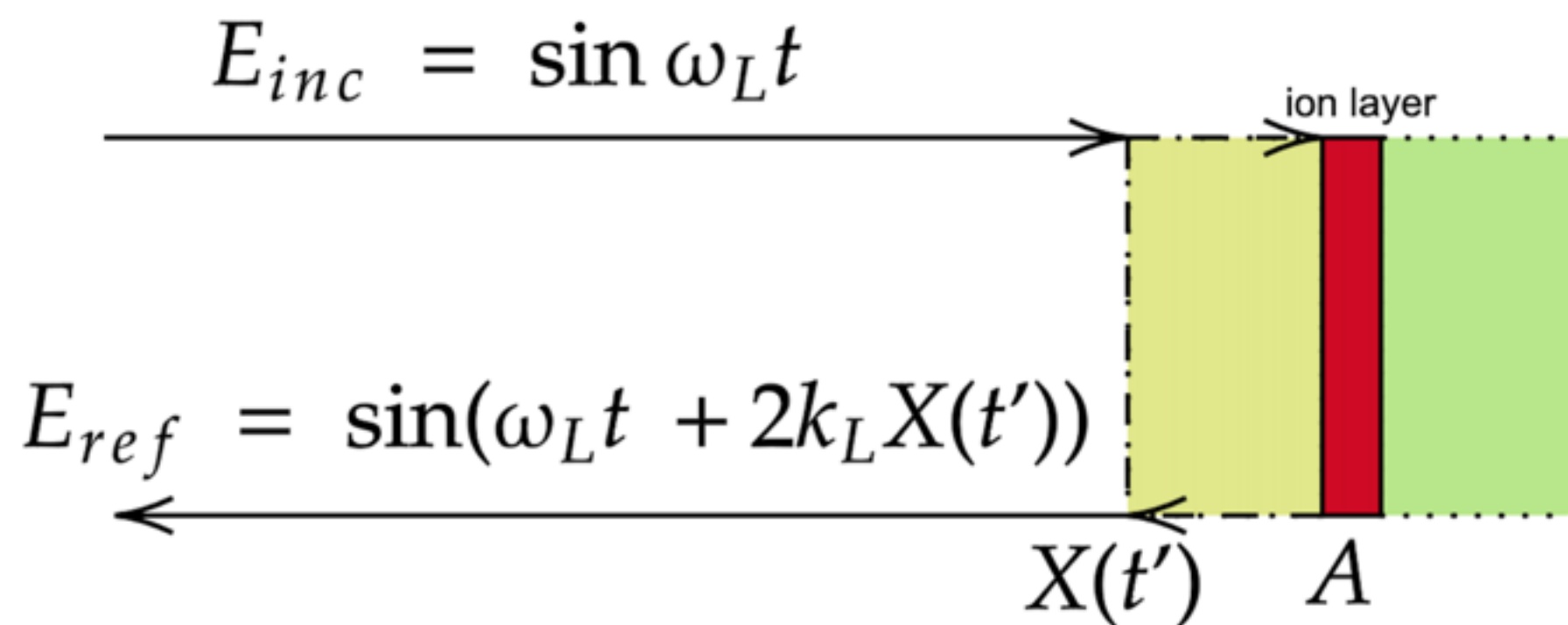
Часть 3. Довольно простая модельная постановка задачи

Эйнштейн 1905:

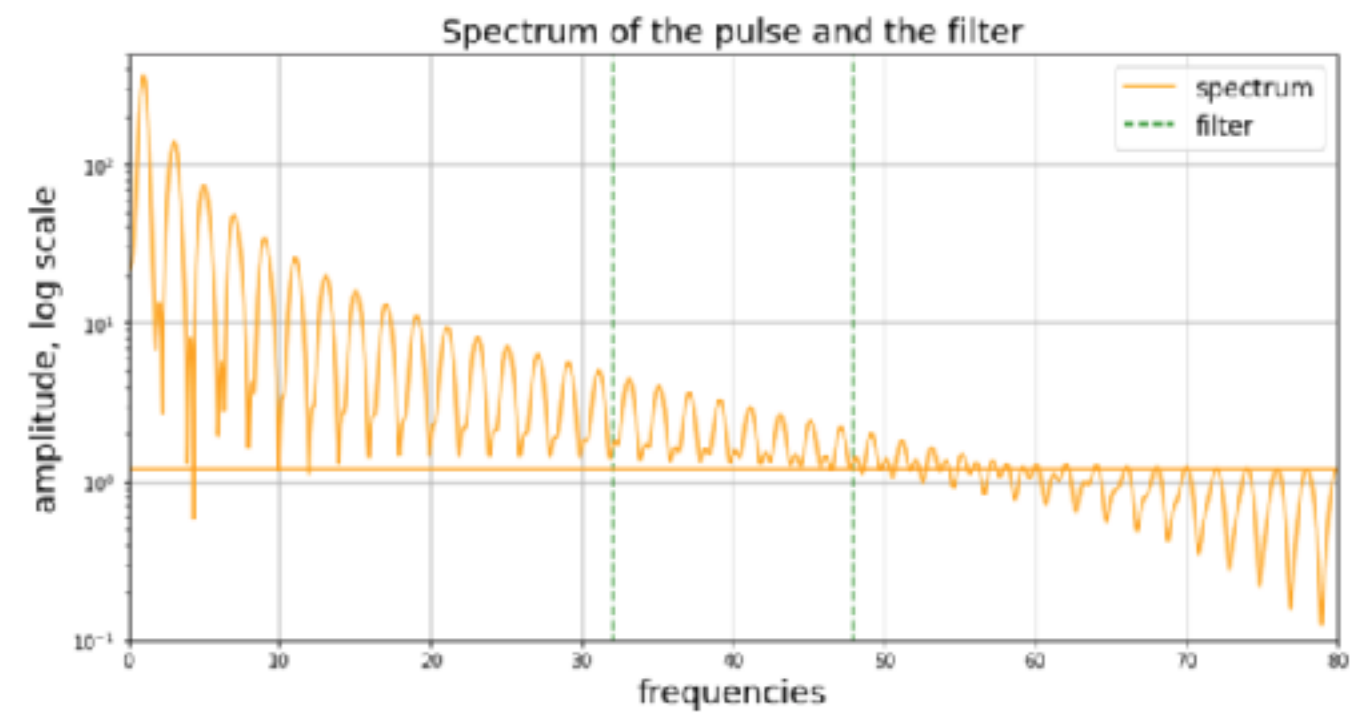
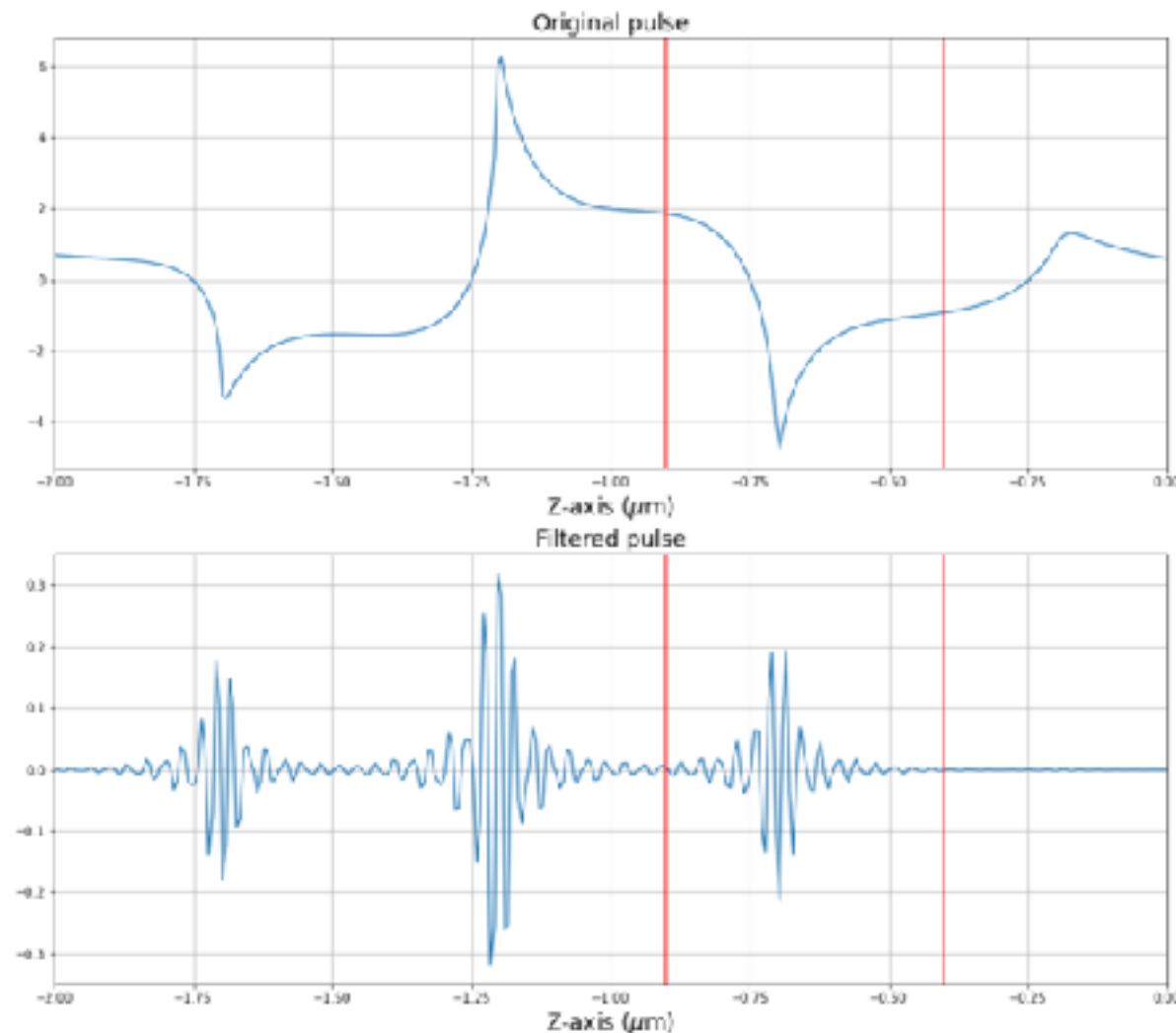
Есть идеальное зеркало, движущееся с постоянной скоростью близкой к скорости света c . Что будет при отражении?

Осциллирующее зеркало:

А что будет если зеркало осциллирует, причем скорость в пике близка к скорости света c ?



Модельные расчеты



Передача орбитального углового момента

Движение зеркала при облучении Лагерр-Гауссовым пучком с ОУМ

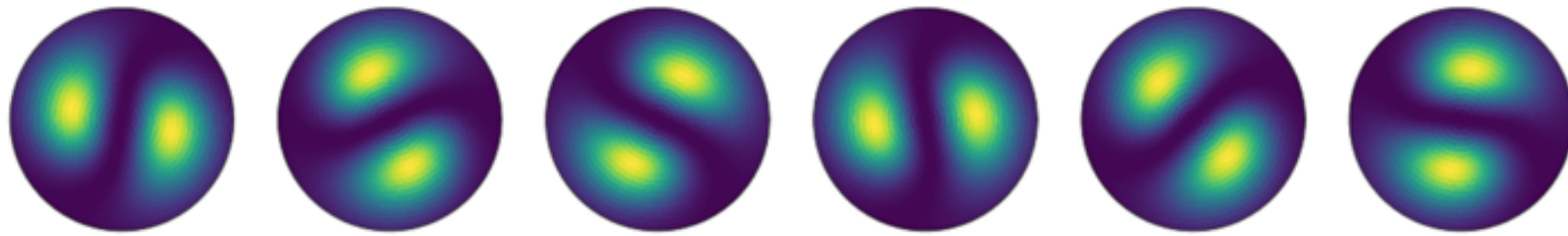
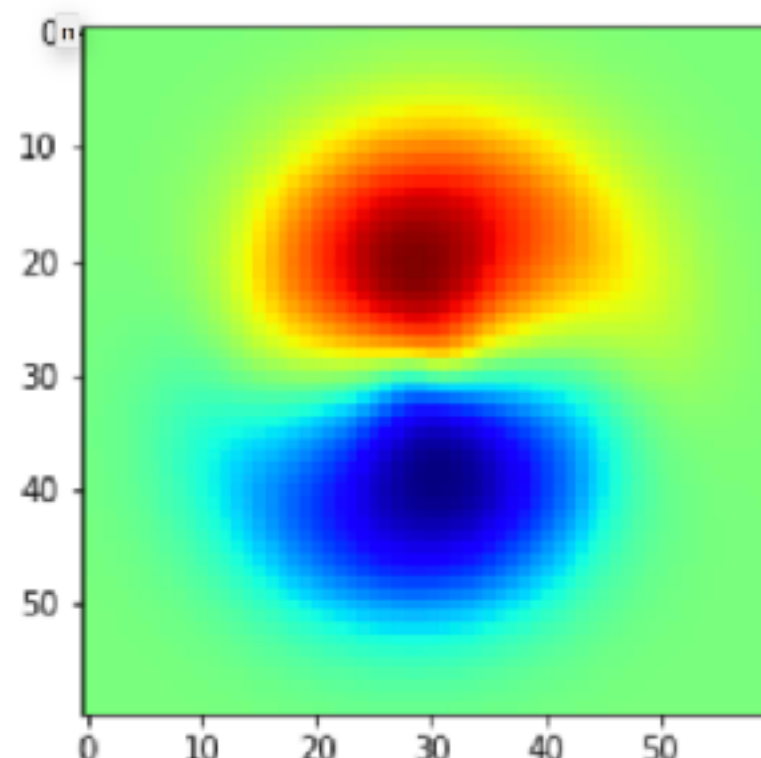
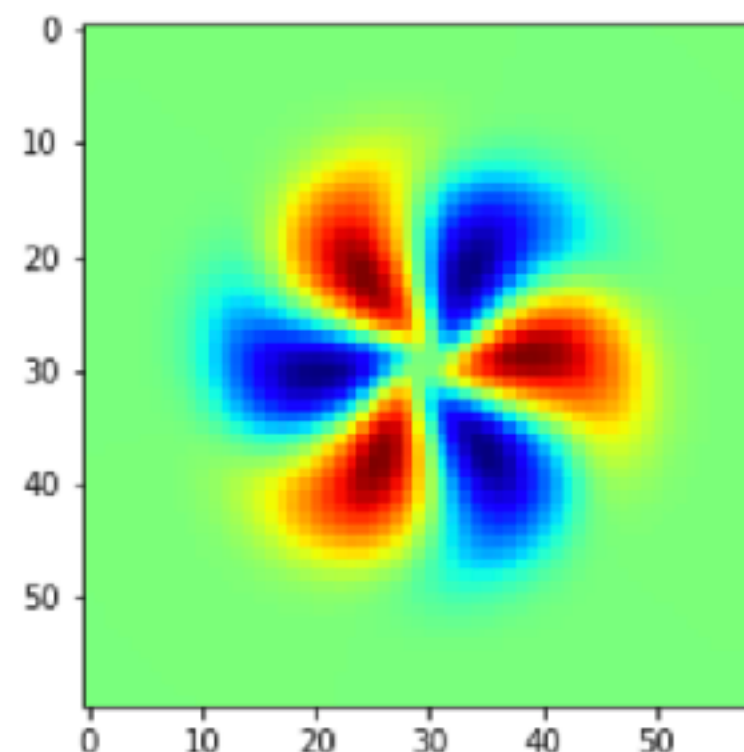


Figure 4.2: Evolution of the target motion after interaction with the incident LG beam pulse

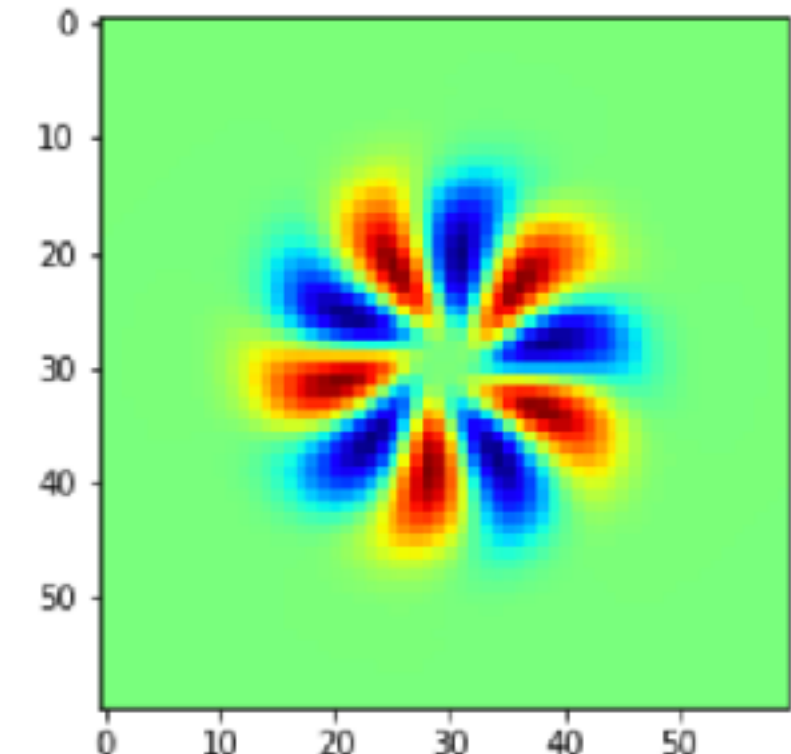
Fundamental (1st)



3rd harmonic



5rd harmonic



Заключение

- Представлена простейшая осцилляторная модель для динамики поверхности твердотельной плазмы
- Показано наличие сдвига фазы зависящего от параметров плазмы
- Показано влияние фазы несущей и параметров плазмы на генерацию одиночных аттосекундных импульсов
- В процессе: применение нелинейной гидродинамической модели движения поверхности (with Arnaud Debayle) — получены похожие результаты

Self-consistent theory of high-order harmonic generation by relativistic plasma mirror

A. Debayle, J. Sanz, and L. Gremillet
Phys. Rev. E 92, 053108 – Published 17 November 2015

- Исследование 3хмерных задач — генерация импульсов с ОАМ

